

تقدير معلمات توزيع ويبيل لبعض البيانات بعد اختبارها باستخدام برنامج Easy Fit

م.م. سامي على عبيد

جامعة صلاح الدين - اربيل

كلية الادارة والاقتصاد

Sami.obed@su.edu.krd

أ.م.د. اوات سردار وادي

جامعة صلاح الدين - اربيل

كلية الادارة والاقتصاد

awat.wahdi@su.edu.krd

ISSN 2709-6475 DOI: <https://dx.doi.org/10.37940/BEJAR.2023.5.2.19>

٢٠٢٣/٨/٣٠ تاريخ قبول النشر

٢٠٢٢/١٢/١٦ تاريخ استلام البحث

٢

المستخلص

يُعد توزيع ويبيل (Weibull Distribution) من أفضل نماذج الفشل الذي يمكن استخدامه لوصف المراحل المختلفة التي تمر بها أي ماكينة أو جهاز كمرحلة الفشل المبكر (الفشل المتناقص) (Increasing Failure Rate) ومرحلة الفشل المتزايد (Decreasing Failure Rate)، وكذلك من الممكن استخدامه في نمذجة بيانات البقاء للأشخاص المصابين بمرض معين، لذا تم استخدامه في هذا البحث لوصف نوعين من البيانات، النوع الأول يمثل بيانات عن عطلات اطارات الطائرات اما النوع الثاني من البيانات فيتمثل فيبيانات عن سرطان الرئة، إذ تم اختبار هذين النوعين من البيانات باستخدام البرنامج الإحصائي (Easy Fit)، وذلك باستخدام كل من اختبار (Kolmogrov-Smirnov) وختبار (Anderson-Darling) الذي تم التوصل من خلالهما إلى أن كل نوع من هذه البيانات يتبع توزيع ويبيل ذي المعلمتين، وبعد ذلك تم تقدير كل من المعلمات ودالة المعلولية لهذا التوزيع باستخدام طريقة العزوم والامكان الاعظم وذلك باستخدام برنامج R.

الكلمات المفتاحية: توزيع ويبيل، طريقة الامكان الاعظم، طريقة العزوم، برنامج Easy Fit



مجلة اقتصadiات

الاعمال للجامعة التطبيقية

مجلة اقتصadiات الاعمال

المجلد (٥) العدد (٢) (٢٠٢٣)

الصفحات: ٣٣٩-٣٥٤

(٣٣٩)

Estimation of Weibull distribution parameters for some data after testing it with Easy Fit software

Assist. Prof. Dr. Awat Sirdar Wahdi

Salahaddin University-Erbil

College of Administration and Economic

awat.wahdi@su.edu.krd

Assistant Lecture: Sami Ali Obed

Salahaddin University-Erbil

College of Administration and Economic

Sami.obed@su.edu.krd

Abstract

The Weibull distribution (Weibull Distribution) is one of the best failure models that can describe the different stages that any machine or device goes through, such as the stage of early failure (Decreasing Failure rate) and the stage of increasing failure rate, so it was used in this research to describe two types of data, the first type represents data on aircraft tire malfunctions, the second type of The data represents data on lung cancer , These two types of data were tested using the statistical program (Easy Fit) using both the test (Kolmogrov-Smirnov) and the test (Anderson-Darling), through which it was concluded that each type of this data follows the parameterized Weibull distribution, and then both the parameters and the reliability function of this distribution were estimated using the methods of moments and greatest possibilities, using the R program.

Key words: Weibull Distribution, Maximum Likelihood Method, Moment Method, Easy Fit.

١. المقدمة:

يُعد توزيع ويبيل (Weibull Distribution) من أفضل نماذج الفشل الذي يمكن ان يصف مراحل الفشل ظهر عام ١٩٣٩ وسمى بهذا الاسم نسبة الى العالم السويدي Weibull، إذ ظهر هذا التوزيع بعد الحرب العالمية الثانية كأحد نماذج الفشل وأكثرها استعمالاً وشيوعاً في دراسات الموثوقية لأنها أحد النماذج التي تصف حالات الفشل المختلفة لأي جهاز، إذ يستعمل توزيع ويبيل لوصف عطلات الكثير من المكائن والمعدات ذات طبيعة العمل الميكانيكي، ومن الجدير بالذكر ان التوزيع الأسوي هو حالة خاصة من توزيع ويبيل وقد انحصر استعماله، وذلك بسبب خاصية ثبات معدل الفشل الذي يتصرف بها التوزيع الأسوي، على العكس منه فإن توزيع ويبيل يمكن استخدامه لوصف المراحل المختلفة التي تمر بها أي ماكينة أو جهاز كمرحلة الفشل المبكر (الفشل المتأخر) (Increasing Failure Rate) ومرحلة الفشل المتزايد (Decreasing Failure Rate) (Decreasing Failure Rate)، ونظراً لأهمية هذا التوزيع فقد تم استخدامه من قبل العديد من الباحثين وقاموا بإيجاد طرائق مختلفة لتقدير معلماته، إذ قام ^[11] Malik,et.al. بإيجاد معلمية نظام Non-Series-Parallel System لسبعين مركبات وكان المتغير العشوائي الذي يمثل وقت العطل والاشغال للمركبات يتبع توزيع ويبيل، وقام ^[13] Jia بدراسة المعلمية لتوزيع ويبيل لبيانات مراقبة متجلسة بشكل كبير، وقد ^[8] Johnson,et.al. العديد من طرائق التقدير الشائعة منها طريقة الإمكان الأعظم (MLE) وطريقة العزوم (MM) وطريقة النسب المئوية (PM) وطريقة العزوم اللوغارitmية (MLM) وتقديرات بيز، واقتصر ^[7] Teimouri,et.al. طريقة مقدرات (LM-L-Moment) لتوزيع ويبيل، وقام ^[14] Kantar باقتراح طريقة المربعات الصغرى العامة وطريقة المربعات الصغرى الموزونة كطريق لتقدير معلمات توزيع ويبيل، وحقق ^[6] Datsiou & Overend أربعة طرائق لتقدير توزيع ويبيل لبيانات قوة الزجاج، واقتصر ^[12] Hidekazu,et.al. تحسين طريقة تقدير الإمكان الأعظم (MLE) مما أدى إلى تحسين تقدير كل من معلمة الشكل ومعلمة القياس لتوزيع ويبيل.

أما في هذا البحث فقد تم استخدام توزيع ويبيل ذي المعلمتين لنمذجة نوعين من البيانات النوع الأول يمثل بيانات عن عطلات اطارات الطائرات، أما النوع الثاني من البيانات فيمثل بيانات عن سرطان الرئة، وذلك بعد اختبار توزيع هذه البيانات باستخدام البرنامج الاحصائي (Easy Fit) وذلك باستخدام كل من اختبار (Kolmogorov-Smirnov) وختبار (Anderson-Darling)، وبعد معرفة التوزيع الاحصائي تم تقدير معلماته ودالة المعلمية بطريقة العزوم والامكان الأعظم وذلك باستخدام برنامج R.

٢. توزيع ويبيل ذو المعلمتين للفشل [1,2,10]:Distribution

يُعد توزيع ويبيل (Weibull Distribution) من أفضل نماذج الفشل، إذ يستخدم هذا التوزيع لوصف عطلات الكثير من المكائن والمعدات ذات طبيعة العمل الميكانيكي، وكذلك نمذجة الكثير من بيانات البقاء للأشخاص المصابين ببعض الامراض، وان الدالة الكثافة الاحتمالية (p.d.f) للمتغير العشوائي T الذي يتبع توزيع ويبيل هي:

$$f(t, \theta, \beta) = \frac{\beta}{\theta} t^{\beta-1} e^{-\frac{t^\beta}{\theta}} \quad \dots (1)$$

$$t > 0; \beta, \theta > 0$$

إذ تمثل:

θ : معلمة القياس (Scale parameter).

β : معلمة الشكل (Shape parameter).

وإن العزم الرانى لتوزيع ويبل هو:

$$E(t^r) = \int_0^\infty t^r \frac{\beta}{\theta} t^{\beta-1} e^{-t/\theta} dt = \theta^r r \left(\frac{r}{\beta} + 1 \right) \quad \dots (2)$$

وعند التعويض عن ($r=1$) في المعادلة (2) اعلاه نحصل على العزم الأول M_1 والذي يمثل

: $E(t)$

$$M_1 = E(t) = \theta^{\frac{1}{\beta}} r \left(\frac{1}{\beta} + 1 \right)$$

أما عند التعويض عن ($r=2$) نحصل على العزم الثاني M_2 الذي يمثل ($E(t^2)$) والذي هو:

$$M_2 = E(t^2) = \theta^{\frac{2}{\beta}} r \left(\frac{2}{\beta} + 1 \right)$$

والتبالين لتوزيع ويبل يكون وفق الصيغة الآتية:

$$\text{var}(t) = E(t^2) - [E(t)]^2$$

$$= \theta^{\frac{2}{\beta}} \left[r \left(\frac{2+\beta}{\beta} \right) - r^2 \left(\frac{1+\beta}{\beta} \right) \right]$$

أما دالة التوزيع (التراكمي) لتوزيع ويبل ف تكون بالصيغة الآتية:

$$F(t) = \int_0^t \frac{\beta}{\theta} u^{\beta-1} \exp \left[-\frac{u^{\beta}}{\theta} \right] du$$

$$F(t) = 1 - \exp \left[-\frac{t^{\beta}}{\theta} \right] \quad \dots (3)$$

ودالة المعرفية لتوزيع ويبل يتم حسابها من خلال الصيغة:

$$R(t) = 1 - F(t)$$

$$R(t) = \exp \frac{-t^{\beta}}{\theta} \quad \dots (4)$$

أما معدل الفشل (الإخفاق) فيمكن إيجاده باستخدام الصيغة الآتية:

$$h(t) = \frac{f(t)}{R(t)}$$

وعند التعويض عن دالة الكثافة الاحتمالية ودالة المعرفية لتوزيع ويبل نحصل على معدل الفشل (الإخفاق) الذي يتاسب طردياً مع β معلمة الشكل وعكسياً مع θ معلمة القياس.

$$h(t) = \frac{\frac{\beta}{\theta} t^{\beta-1} \exp \left[-\frac{t^{\beta}}{\theta} \right]}{\exp \left[-\frac{t^{\beta}}{\theta} \right]}$$

$$h(t) = \frac{\beta}{\theta} t^{\beta-1} \quad \dots (5)$$

٣. بعض خصائص توزيع ويبيل ذي المعلمتين للفشل^[1,3]:

سيتم في هذه الفقرة التطرق إلى بعض خصائص توزيع ويبيل عن طريق توضيح تأثير معلمتين الشكل والقياس في التوزيع:

- عندما ($1 = \beta$): يتحول توزيع ويبيل إلى التوزيع الأسوي الذي هو حالة خاصة من توزيع ويبيل ويكون في هذه الحالة معدل الفشل ثابت والجهاز أو الماكينة تكون في مرحلة العمر النافع، والتوزيع الأسوي يتميز بخاصية فقدان الذاكرة (Memory Lessens) ومفهوم هذه الخاصية أن الاستعمال السابق للجهاز أو الماكينة لا يؤثر على عملها في المدة القادمة أي العمر المسبق للجهاز لا يعتمد على عمره السابق، إذ أن عمل الماكينة في هذه المرحلة لا يتأثر بتقادمها واستهلاكها، وهذه الخاصية تتفق تماماً مع طبيعة العطلات العشوائية التي يتعرض لها الجهاز أو الماكينة.
- عندما ($2 = \beta$) فإن التوزيع يتحول إلى توزيع رايلي (Rayleigh Distribution).
- عندما ($1 < \beta$) يكون مشابهاً لشكل التوزيع الأسوي.
- عندما ($3 \geq \beta$) يكون مشابهاً لشكل التوزيع الطبيعي (يكون الشكل قريباً من التمثال).
- عندما ($\beta < 1 > 3$) يكون التوزيع ملتوياً (Skewed).
- عندما تكون معلمة الشكل ($1 > \beta$) يكون معدل الفشل متزايد (Increasing Failure Rate) وهي الحالة التي تمثل دخول الجهاز أو الماكينة مرحلة التناكل (الاستهلاك) والتقادم.
- عندما تكون معلمة الشكل ($1 < \beta$) يكون معدل الفشل متناقص (Decreasing Failure Rate).
- عندما تكون معلمة الشكل ($1 = \beta$) يكون معدل الفشل ثابت (Decreasing Failure Rate).
- زيادة قيمة معلمة القياس (θ) في نقطة زمنية معينة يؤدي إلى انخفاض معدل الفشل وزيادة قيمة دالة المعرفية.

٤. تقدير معلمات توزيع ويبيل:

يتم في هذه الفقرة تقدير معلمات توزيع ويبيل ذي المعلمتين، وذلك باستخدام اثنين من طرائق التقدير وهي طريقة العزوم وطريقة الامكان الاعظم:

٤-١- طريقة العزوم^[9]: Method of Moment

يتم ايجاد مقدرات العزوم من خلال ايجاد عزم العينة وذلك من خلال الصيغة الآتية:

$$M_k = \frac{1}{n} \sum_{i=1}^n t_i^k$$

ومن ثم مساواة هذا العزم مع عزم المجتمع الذي يمكن الحصول عليه باستخدام الدالة المولدة للعزوم لتوزيع ويبيل والتي تعرف كالتالي:

$$M_k(t) = \beta^k$$

$$M_k(t) = \beta^k \Gamma(1 + \frac{k}{\theta})$$

إذ أن:

k : تمثل العزم النظري k ، وان $(.)\Gamma$ تعبّر عن دالة كاما:

$$\Gamma(\theta) = \int_0^{\infty} x^{\theta-1} e^{-x} dx, \quad \theta > 0$$

ونحتاج في ايجاد تقدير المعلمات للتوزيع وييل بهذه الطريقة إلى ايجاد عزمين فقط، وذلك

$$\text{باستخدام المعادلة } \frac{\sigma^2}{\mu_1^2} = M_2(t) - [M_1(T)]^2 \text{ وذلك من خلال تبسيط المعادلة الآتية:}$$

$$\frac{\sigma^2}{\mu_1^2} = \frac{M_2(t) - [M_1(T)]^2}{[M_1(T)]^2}$$

$$\frac{\mu_2 - \mu_1^2}{\mu_1^2} = \frac{M_2(t)}{[M_1(T)]^2} - 1$$

$$\frac{\mu_2}{\mu_1^2} - 1 = \frac{M_2(t)}{[M_1(T)]^2} - 1$$

$$\frac{\mu_2}{\mu_1^2} = \frac{M_2(t)}{[M_1(T)]^2}$$

بعد أخذ العزم الثاني للعينة وقسمته على العزم الأول للعينة، فإن دالة العزم النظري باستخدام البيانات تقارب إلى:

$$\frac{\mu_2}{\mu_1^2} = \frac{M_2(t)}{[M_1(T)]^2}$$

$$\frac{\frac{1}{n} \sum_{i=1}^n t_i^2}{\left[\frac{1}{n} \sum_{i=1}^n t_i \right]^2} \approx \frac{\beta^2 \Gamma(1 + \frac{2}{\theta})}{\beta^2 \Gamma^2(1 + \frac{1}{\theta})}$$

$$\frac{n \sum_{i=1}^n t_i^2}{\left[\sum_{i=1}^n t_i \right]^2} \approx \frac{\Gamma(1 + \frac{2}{\theta})}{\Gamma^2(1 + \frac{1}{\theta})}$$

هذه المعادلة تعتمد على قيمة $\hat{\eta}$ التي يتم ايجادها باستخدام Bisection Method باستخد

المعادلة الآتية:

$$f(x) = \frac{\Gamma(1 + \frac{2}{\theta})}{\Gamma^2(1 + \frac{1}{\theta})} - \frac{x}{x} - \frac{\mu_2}{\mu_1^2} = 0 \quad \dots (6)$$

إذ أن $\frac{\mu_2}{\mu_1^2}$ هي قيمة ثابتة يتم ايجادها من خلال بيانات العينة، وباستخدام هذه الطريقة

Bisection Method نحصل على تقدير المعلمة β من خلال المعادلة الآتية:

(٣٤٤)

$$\begin{aligned}\mu_1 = \bar{t} &= \hat{\beta} \Gamma(1 + \frac{1}{\hat{\theta}}) \\ \Rightarrow \hat{\beta} &= \frac{\bar{t}}{\Gamma(1 + \frac{1}{\hat{\theta}})} \quad \dots (7)\end{aligned}$$

٤- طريقة الامكان الاعظم (MLE) [٥]

تعد طريقة الامكان الاعظم من الطرائق الشائعة لتقدير المعلمات التي تعتمد على دالة الامكان في ايجاد تقدير المعلمات، وسوف يتم استخدامها في ايجاد تقدير معلمات توزيع ويبل ذي المعلمتين كالتالي:

$$\begin{aligned}L(t_i, \beta, \hat{\theta}) &= \prod_{i=1}^n f(x_i, \beta, \hat{\theta}) \\ &= \frac{\beta^n}{\hat{\theta}^n} \prod_{i=1}^n \left(\frac{t_i}{\hat{\theta}}\right)^{\beta} \exp\left(-\sum_{i=1}^n \left(\frac{t_i}{\hat{\theta}}\right)^{\beta}\right) \quad \dots (8)\end{aligned}$$

وبأخذ اللوغاريتم الطبيعي للمعادلة أعلاه نحصل على:

$$\ln L(t_i, \beta, \hat{\theta}) = n \ln \beta - n \ln \hat{\theta} + (\beta - 1) \sum_{i=1}^n \ln\left(\frac{t_i}{\hat{\theta}}\right) - \sum_{i=1}^n \left(\frac{t_i}{\hat{\theta}}\right)^{\beta} \quad \dots (9)$$

وإن مقدرات الامكان الاعظم للمعلمات هي قيم المعلمات التي تعظم دالة الامكان، وعليه فإن مقدرات الامكان الاعظم لتوزيع ويبل يتم الحصول عليها من خلال حل المعادلات، وذلك من خلال مساواة المشتقفات الجزئية لدالة الامكان $L(\alpha, \beta)$ بالصفر:

$$\frac{n}{\hat{\beta}} + \frac{1}{n} \sum_{i=1}^n \ln t_i - \frac{\sum_{i=1}^n t_i^{\beta} \ln t_i}{\sum_{i=1}^n t_i^{\beta}} = 0 \quad \dots (10)$$

$$\frac{-n}{\hat{\theta}} + \frac{1}{\hat{\theta}^2} \sum_{i=1}^n t_i^{\beta}$$

وعليه فإن $\hat{\beta}$ هي حل المعادلة الآتية.

$$\frac{1}{\hat{\beta}} + \frac{1}{n} \sum_{i=1}^n Lnt_i - \frac{\sum_{i=1}^n t_i^{\hat{\beta}} Lnt_i}{\sum_{i=1}^n t_i^{\hat{\beta}}} = 0 \quad \dots (11)$$

وبما أنه لا يمكن ايجاد الحل النظري للمعادلة (11)، لذلك يتم استخدام طريقة نيوتن - رافسن لايجد الحل العددي لهذه المعادلة غير الخطية وذلك عندما تكون معلومة الشكل معلومة:

$$\hat{\theta}_{MLE} = \left(\frac{\sum_{i=1}^n t_i^{\hat{\beta}}}{n} \right)^{\frac{1}{\hat{\beta}}} \dots (12)$$

$$\hat{\beta} = \left[\left(\sum_{i=1}^n t_i^{\hat{\beta}} Lnt_i \right) \left(\sum_{i=1}^n t_i^{\hat{\beta}} \right)^{-1} - \frac{1}{n} \sum_{i=1}^n Lnt_i \right]^{-1} \dots (13)$$

وبعد ايجاد تقدير المعلمات $\hat{\theta}, \hat{\beta}$ بكل من طريقتي العزوم وطريقة الامكان الاعظم يتم ايجاد تقدير دالة المعلوية من خلال تعويض المعلمات المقدرة في صيغة حساب دالة المعلوية لتوزيع وبيل فنحصل على:

$$\hat{R}(t) = \exp \left[\frac{-t^{\hat{\beta}}}{\hat{\theta}} \right] \dots (14)$$

٥. الجانب التطبيقي:

يتضمن هذا الفصل اختبار نوعين من البيانات، النوع الأول يمثل بيانات عن عطلات اطارات الطائرات، أما النوع الثاني فيمثل بيانات عن سرطان الرئة، بعد الحصول على هذين النوعين من البيانات تم اختبار كل نوع على حد لمعرفه توزيعه وذلك باستخدام برنامج Easy Fit، ومن ثم تقدير معلمات دالة معلوية التوزيع باستخدام كل من طريقتي العزوم وطريقة الامكان الاعظم وذلك باستخدام برنامج R.

١-٥ بيانات عن عطلات اطارات الطائرات:

تم الحصول على هذه البيانات من خلال المصدر [4] الذي يبين ان البيانات تم الحصول عليها من قسم التخطيط الفني في شركة الخطوط الجوية العراقية وهي إحدى الشركات التابعة الى وزارة النقل والمواصلات، وان آلية فحص الطائرات في الشركة يجري بصورة يومية للطائرات الموجودة في مطار بغداد الدولي والطائرات المغادرة يجري فحصها حال وصولها، وعليه فإن جميع العطلات وانواعها وأوقات حدوثها، فضلاً عن الإجراء المتبع لإصلاحها مدون في التقارير اليومية لقسم التخطيط الفني، والجدول (1) يوضح الطائرات العراقية في مطار بغداد.

الجدول (1) عدد الطائرات لكل نوع من الطائرات في شركة الخطوط الجوية العراقية

نوع الطائرة	عدد الطائرات لكل نوع
CRJ	6
AriBus 330	1
AriBus 320	3
AriBus 321	2
Boeing B 777	1
Boeing B 737-800	10

علمًا ان البيانات التي تم استخدامها تمثل العطلات التي تحدث في العجلات الرئيسية (Main Wheel) للطائرات نوع Boeing 737-800 ، أما الكود الخاص بكل طائرة من طائراتها هو كما موضح في الجدول الآتي:

الجدول (2) الكود الخاص بكل طائرة من طائرات Boeing 737-800

Y1 ASE	Y1 ASU	Y1 ASR
Y1 ASQ	Y1 ASK	Y1 AST
Y1 ASJ	Y1 ASS	
Y1 ASG	Y1 ASA	

البيانات الحقيقية لهذا الجانب التطبيقي تمثل الفترات الزمنية لحدوث العطل في العجلات الرئيسية (Main Wheel) للطائرات العراقية نوع Boeing 737-800 مقاسة بالأيام، وكان حجم العينة التي تم الاعتماد عليها في هذا البحث هو ($n=143$) ، ولمعرفة فيما اذا كانت البيانات تتوزع وفقاً للتوزيع وبييل ذي المعلمتين تم اختبار الفرضية الآتية:

H_0 : البيانات تتوزع وفقاً للتوزيع وبييل.

H_1 : البيانات لا تتوزع وفقاً للتوزيع وبييل.

إذ تم اختبار الفرضية اعلاه باستخدام برنامج (Easy Fit) الذي يعتمد على كل من اختبار (Anderson-Darling) وختبار (Kolmogorov-Smirnov) وكانت النتائج كما مبينة في الجدول الآتي:

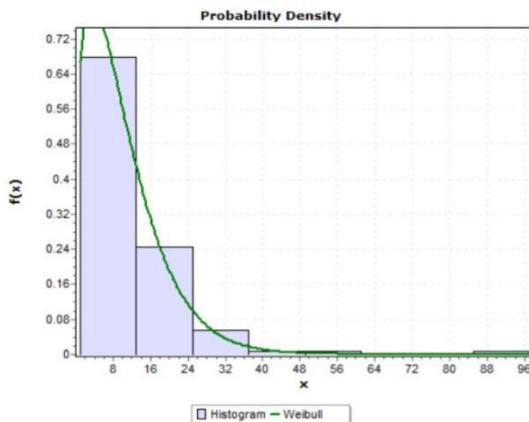
الجدول (3) نتائج اختبار بيانات عطلات اطارات الطائرات باستخدام برنامج (Easy Fit)

Weibull					
Kolmogorov- Smirnov					
Sample size	143				
Statistic	0.06791				
Rank	2				
α	0.2	0.15	0.1	0.05	0.01
Critical value	0.08948	0.09533	0.10202	0.11373	0.13631
Reject	No	No	No	No	No
Anderson- darling					
Kolmogorov- Smirnov					
Sample size	143				
Statistic	0.74073				
Rank	2				
α	0.2	0.15	0.1	0.05	0.01
Critical value	1.3749	1.6024	1.9286	2.508	3.9074
Reject	No	No	No	No	No

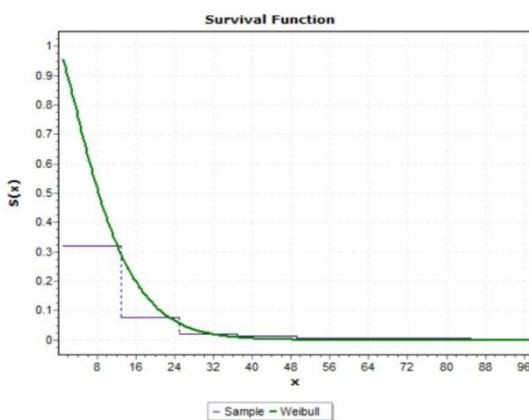
ومن خلال الجدول (3) وبالاعتماد على اختبار (Kolmogorov-Smirnov) نلاحظ ان قيمة الإحصاء ($Statistics = 0.06791$) هي أصغر من القيمة الحرجة Critical Value عند مستويات مختلفة من ($\alpha = 0.2, 0.15, 0.1, 0.05, 0.01$) ، لذلك نقبل فرضية العدم (H_0) أي ان البيانات تتبع توزيع وبييل ذي المعلمتين وكذلك من خلال الاعتماد على اختبار (Anderson-Darling) نلاحظ ان قيمة الإحصاء ($Statistics = 0.74073$)، وهي أصغر من القيمة الحرجة Critical Value عند مستويات مختلفة من ($\alpha = 0.2, 0.15, 0.1, 0.01, 0.05$) ، لذلك نقبل

(٣٤٧)

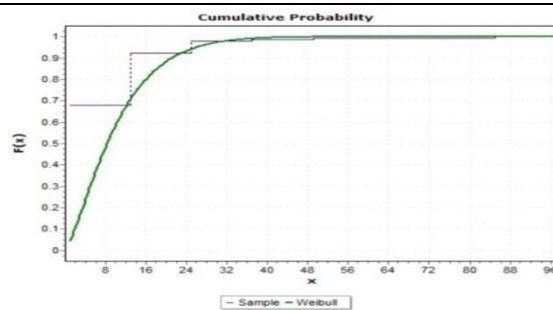
فرضية العدم (H_0) أي إن البيانات تتبع توزيع ويبل ذي المعلمتين وان الرسومات التي تمثل دالة الكثافة الاحتمالية (Probability Density) ، دالة المغولية، دالة الكثافة التجميعية هي كالتالي:



الشكل (1) دالة الكثافة الاحتمالية لبيانات عطلات اطارات الطائرات



الشكل (2) دالة المغولية لبيانات عطلات اطارات الطائرات



الشكل (3) دالة الكثافة التجميعية لبيانات عطلات اطارات الطائرات

٢-٥ بيانات عن سرطان الرئة:

تم الحصول على البيانات من مستشفى نانكولى التي تمثل زمنبقاء المريض المصابة بسرطان الرئة حتى وفاته مقاساً بالأيام، وكان حجم العينة التي تم الاعتماد عليها في هذا البحث هو $n = 88$ ، ولمعرفة فيما إذا كانت البيانات تتوزع وفقاً لتوزيع وبيل ذي المعلمتين تم اختبار الفرضية الآتية:

H0: البيانات تتوزع وفقاً لتوزيع وبيل.

H1: البيانات لا تتوزع وفقاً لتوزيع وبيل.

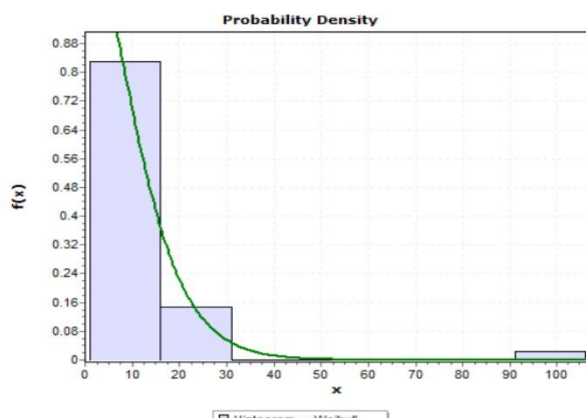
إذ تم اختبار الفرضية أعلاه باستخدام برنامج (Easy Fit) الذي يعتمد على كل من اختبار (Anderson-Darling) وختبار (Kolmogorov-Smirnov) وكانت النتائج كما مبينة في الجدول الآتي:

الجدول (٤) نتائج اختبار بيانات سرطان الرئة باستخدام برنامج (Easy Fit)

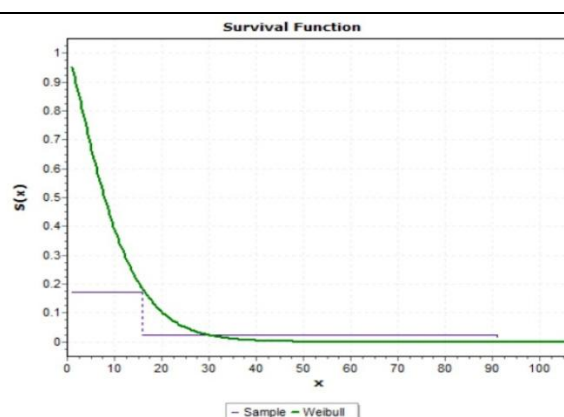
Weibull					
Kolmogorov- Smirnov					
Sample size	88				
Statistic	0.08562				
Rank	1				
α	0.2	0.15	0.1	0.05	0.01
Critical value	0.11406	0.12152	0.13005	0.14498	0.17376
Reject	No	No	No	No	No
Anderson- darling					
Sample size	88				
Statistic	1.1263				
Rank	2				
α	0.2	0.15	0.1	0.05	0.01
Critical value	1.3749	1.6024	1.9286	2.5018	3.9074
Reject	No	No	No	No	No

ومن خلال الجدول (٤) وبالاعتماد على اختبار (Kolmogorov-Smirnov) نلاحظ قيمة الإحصاء $Statistics = 0.08562$ (Statistics) وهي أصغر من القيمة الحرجة Critical Value عند مستويات مختلفة من ($\alpha = 0.2, 0.15, 0.1, 0.05, 0.01$)، لذلك نقبل فرضية العدم (H0) أي إن البيانات تتبع توزيع وبيل ذي المعلمتين. وكذلك من خلال الاعتماد على اختبار (Anderson-Darling)، نلاحظ أن قيمة الإحصاء ($Statistics = 1.1263$)، وهي أصغر من القيمة الحرجة Critical Value عند مستويات مختلفة من ($\alpha = 0.2, 0.15, 0.1, 0.01, 0.05$)، لذلك نقبل فرضية العدم (H0) أي إن البيانات تتبع توزيع وبيل ذي المعلمتين المعلمتين وان الرسومات التي تمثل دالة الكثافة الاحتمالية، ودالة البقاء، ودالة الكثافة التجعيمية هي كالتالي:

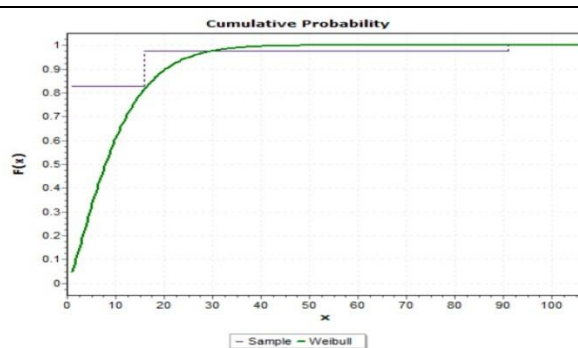
تقدير معلمات توزيع ويبل لبعض البيانات بعد اختبارها باستخدام برنامج Easy Fit



الشكل (4) دالة الكثافة الاحتمالية لبيانات سرطان الرئة



الشكل (5) دالة المولالية لبيانات سرطان الرئة



الشكل (6) دالة الكثافة التجميعية لبيانات سرطان الرئة

٣-٥ تقدير المعلمات ودالة المعلوية باستخدام برنامج R:

سوف يتم في هذه الفقرة تقدير المعلمات وكذلك دالة المعلوية أو دالة البقاء لتوزيع ويبل ذي المعلمتين، وذلك حسب نوع البيانات التي تم استخدامها في هذا البحث وهي بيانات عن عطلات اطارات الطائرات، وبيانات عن سرطان الرئة وذلك باستخدام برنامج R، إذ تم الحصول على النتائج كما في الجداول الموضحة أدناه:

الجدول (5) نتائج تقدير المعلمات باستخدام كل من طريقي الامكان الاعظم وطريقة العزوم لبيانات عطلات اطارات الطائرات

Method for estimation	B	θ
MLE	1.13304	11.49583
Moment	0.9652436	10.7673536

من خلال الجدول (5) نلاحظ ان كل من طريقي الامكان الاعظم وطريقة العزوم قد اعطت نتائج متقاربة لتقدير كل من معلمتي الشكل والقياس.

الجدول (6) نتائج تقدير دالة المعلوية باستخدام كل من طريقي الامكان الاعظم وطريقة العزوم لبيانات عطلات اطارات الطائرات

t _i	R _{mle} (t _i)	R _{mom} (t _i)	t _i	R _{mle} (t _i)	R _{mom} (t _i)
1	0.91669	0.91131	11	0.26809	0.39066
2	0.82631	0.83416	12	0.23391	0.35978
3	0.73931	0.76477	13	0.20377	0.33142
4	0.65808	0.70186	14	0.17727	0.30536
5	0.58345	0.64461	15	0.15401	0.28141
6	0.5156	0.59239	16	0.13363	0.25938
7	0.45437	0.54466	17	0.11581	0.23912
8	0.39944	0.50098	18	0.10026	0.22048
9	0.35039	0.46098	19	0.0867	0.20333
10	0.30676	0.4243	20	0.0749	0.18753

اما من خلال الجدول (6) فيمكن ملاحظة ان قيم تقدير دالة المعلوية لتوزيع ويبل ذي المعلمتين تتناقص بازدياد الزمن t_i لكل من طريقي الامكان الاعظم والعزوم.

الجدول (7) يمثل نتائج تقدير المعلمات باستخدام كل من طريقي الامكان الاعظم وطريقة العزوم لبيانات سرطان الرئة

Method for estimation	B	θ
MLE	1.034374	11.147683
Moment	0.7513433	9.2236648

من خلال الجدول (7) نلاحظ ان كل من طريقي الامكان الاعظم وطريقة العزوم قد اعطت نتائج مختلفة نوعا ما لتقدير كل من معلمتي الشكل والقياس.

الجدول (8) يمثل نتائج تقدير دالة البقاء باستخدام كل من طريقتي الامكان الاعظم وطريقة العزوم لبيانات لبيانات سلطان الرئة

t_i	$R_{mle}(t_i)$	$R_{mom}(t_i)$	t_i	$R_{mle}(t_i)$	$R_{mom}(t_i)$
1	0.9142	0.89725	13	0.27981	0.47482
2	0.83216	0.83318	14	0.25281	0.455
3	0.75618	0.78075	15	0.22836	0.43633
4	0.68637	0.73549	16	0.20622	0.41871
5	0.62248	0.69538	17	0.18619	0.40206
6	0.56416	0.65926	18	0.16807	0.38631
7	0.51101	0.62638	19	0.15169	0.37137
8	0.46264	0.59621	20	0.13687	0.35719
9	0.41867	0.56835	21	0.12349	0.34372
10	0.37873	0.5425	22	0.11139	0.33091
11	0.34248	0.51842	23	0.10046	0.31871
12	0.30961	0.49592	24	0.09059	0.30709

أما من خلال الجدول (8) فيمكن ملاحظة ان قيم تقدير دالة البقاء لتوزيع ويل ذي المعلمتين تتناقص بازدياد الزمن t_i لكل من طريقتي الامكان الاعظم والعزوم.

٥. الاستنتاجات والتوصيات:

١-٥ الاستنتاجات:

بعد أن تناولنا الجانب التطبيقي الخاص بالبحث يمكن تلخيص أهم الإستنتاجات التي خرج بها هذا البحث:

١. من خلال الجدول (3) وبالاعتماد على اختبار (Kolmogrov-Smirnov) نلاحظ ان قيمة الإحصاء ($Statistics = 0.06791$) أصغر من القيمة الحرجة Critical Value عند مستويات مختلفة من ($\alpha = 0.01, 0.05, 0.1, 0.15, 0.2$) لذلك نقبل فرضية العدم (H_0) أي إن البيانات تتبع توزيع ويل ذي المعلمتين.

٢. وكذلك من خلال الجدول (3) وبالاعتماد على اختبار (Anderson-Darling) (Anderson-Darling) نلاحظ ان قيمة الإحصاء ($Statistics = 0.74073$) وهي أصغر من القيمة الحرجة Critical Value عند مستويات مختلفة من ($\alpha = 0.01, 0.05, 0.1, 0.15, 0.2$) ، لذلك نقبل فرضية العدم (H_0) أي إن البيانات تتبع توزيع ويل ذي المعلمتين.

٣. من خلال الجدول (4) وبالاعتماد على اختبار (Kolmogrov-Smirnov) نلاحظ ان قيمة الإحصاء ($Statistics = 0.08562$) وهي أصغر من القيمة الحرجة Critical Value عند مستويات مختلفة من ($\alpha = 0.01, 0.05, 0.1, 0.15, 0.2$) لذلك نقبل فرضية العدم (H_0) أي إن البيانات تتبع توزيع ويل ذي المعلمتين.

٤. ومن خلال الاعتماد على اختبار (Anderson-Darling) (Anderson-Darling) نلاحظ ان قيمة الإحصاء ($Statistics = 1.1263$) وهي أصغر من القيمة الحرجة Critical Value عند مستويات مختلفة من ($\alpha = 0.01, 0.05, 0.1, 0.15, 0.2$) لذلك نقبل فرضية العدم (H_0) أي إن البيانات تتبع توزيع ويل ذي المعلمتين.

٥. من خلال الجدول (5) نلاحظ ان كل من طريفي الامكان الاعظم وطريقة العزوم قد اعطت نتائج متقاربة لنقدر كل من معلمتي الشكل والقياس، أما من خلال الجدول (6) فيمكن ملاحظة ان قيم تقدير دالة المعلولية لتوزيع وبيل ذي المعلمتين تتفاصل بازيداد الزمن t ; لكل من طريفي الامكان الاعظم والعزوم.
٦. من خلال الجدول (7) نلاحظ ان كل من طريفي الامكان الاعظم وطريقة العزوم قد اعطت نتائج مختلفة نوعاً ما لنقدر كل من معلمتي الشكل والقياس، أما من خلال الجدول (8) فيمكن ملاحظة ان قيم تقدير دالة البقاء لتوزيع وبيل ذي المعلمتين تتفاصل بازيداد الزمن t ; لكل من طريفي الامكان الاعظم والعزوم.

٢-٥ التوصيات:

يمكن وضع التوصيات الآتية على ضوء استنتاجات البحث:

١. استخدام توزيع وبيل لنمذجة العديد من البيانات سواء كانت اوقات عطل للمكائن أو عدد أيام البقاء للمرضى وذلك لأنه من التوزيعات الشائعة لتمثيل هذا النوع من البيانات ومن ثم تقدير كل من المعلمات ودالة المعلولية أو دالة البقاء لهذا التوزيع.
٢. استخدام طرائق أخرى مع طريفي العزوم والامكان الاعظم لغرض تقدير المعلمات ودالة معلولية توزيع وبيل ذي المعلمتين والمقارنة بين هذه الطرائق من خلال المقياس الاحصائي متوسط مربعات الخطأ MSE لغرض التوصل إلى أفضل طريقة تقدير.
٣. نوصي بالقيام بهذا النوع من البحوث لكي تستفيد منها وزارة الصحة وكذلك الجهات المسؤولة عن معلولية المكائن.

المصادر والمراجع:

أولاً: المصادر العربية:

١. العاني، مي تحسين عبدالحليم، (٢٠٠٧)، مقارنة بين طرائق تقدير المعلولية في حالة الاجهاد والمتانة لانموذج باريتو ووبيل، رسالة ماجستير، كلية الادارة والاقتصاد، جامعة بغداد.
٢. جعفر، صادق مولى وأخرون، (٢٠٠٩)، أفضل تقدير لمعلولية وبيل ذي المعلمتين، مجلة بغداد للعلوم، المجلد ٦، العدد ٤.
٣. كامل، براق صبحي، (٢٠٠٦)، معلولية الانظمة القابلة للتصلیح مع تطبيق عملي، رسالة ماجستير، كلية الادارة والاقتصاد، جامعة بغداد.
٤. محمد، نور أياد، (٢٠١٧)، تقدير معلمات توزيع بواسون المركب مع تطبيق عملي، رسالة ماجستير، كلية الادارة والاقتصاد، جامعة بغداد.

ثانياً: المصادر الأجنبية:

5. Almazah, M. & Ismail, M. (2021). Selection of Efficient Parameter Estimation Method for Two-Parameter Weibull Distribution. Mathematical Problems in Engineering.
6. K.C. Datsiou & M. Overend, 2018, Weibull parameter estimation and goodness-of-fit for glass strength data, Structural Safety, Vol. 73, pp. 29-41.
7. M. Teimouri, S.M. Hoseini & S. Nadarajah, 2013, Comparison of estimation methods for the Weibull distribution, Statistics, Vol. 47, No. 1, pp. 93-109.
8. N.L. Johnson, S. Kotz & N. Balakrishnan, 1994, Continuous Univariate Distributions, 2nd ed., Wiley, NewYork, USA.
9. Nielsen, M.A. (2011). Parameter estimation for the two-parameter Weibull distribution. Brigham Young University.

10. Rasheed, D.H. & Wakil, A.A. (2009), Introduction to mathematical statistics, College of management and economics, Baghdad University.
11. S.C. Malik, S.K. Chauhan & N. Ahlawat, 2020, Reliability analysis of a non-series-parallel system of seven components with weibull failure laws, International Journal of Systems Assurance Engineering and Management, Vol. 11, No. 1, pp. 577–582.
12. T. Hidekazu, P. Nabendu & K. L. Wooi, 2018, On improved estimation under Weibull model, Journal of Statistical Beory and Practice, Vol. 12, No. 1, pp. 48-65.
13. X. Jia, 2020, Reliability analysis for weibull distribution with homogeneous heavily censored data based on bayesian and least squares methods, Applied Mathematical Modelling, Vol. 83, pp. 169–188.
14. Y.M. Kantar, 2015, Generalized least squares and weighted least squares estimation methods for distributional parameters, Revstat-Statistical Journal, Vol. 13, No. 3, pp. 263-282.